



LIFE15 CCA/IT/000089

Strumenti di monitoraggio degli impatti del cambiamento climatico sulle foreste



Università degli Studi della Basilicata



*SAFE - Scuola di Scienze Agrarie, Forestali,
Alimentari e Ambientali*

Angelo Nolè

angelo.nole@unibas.it



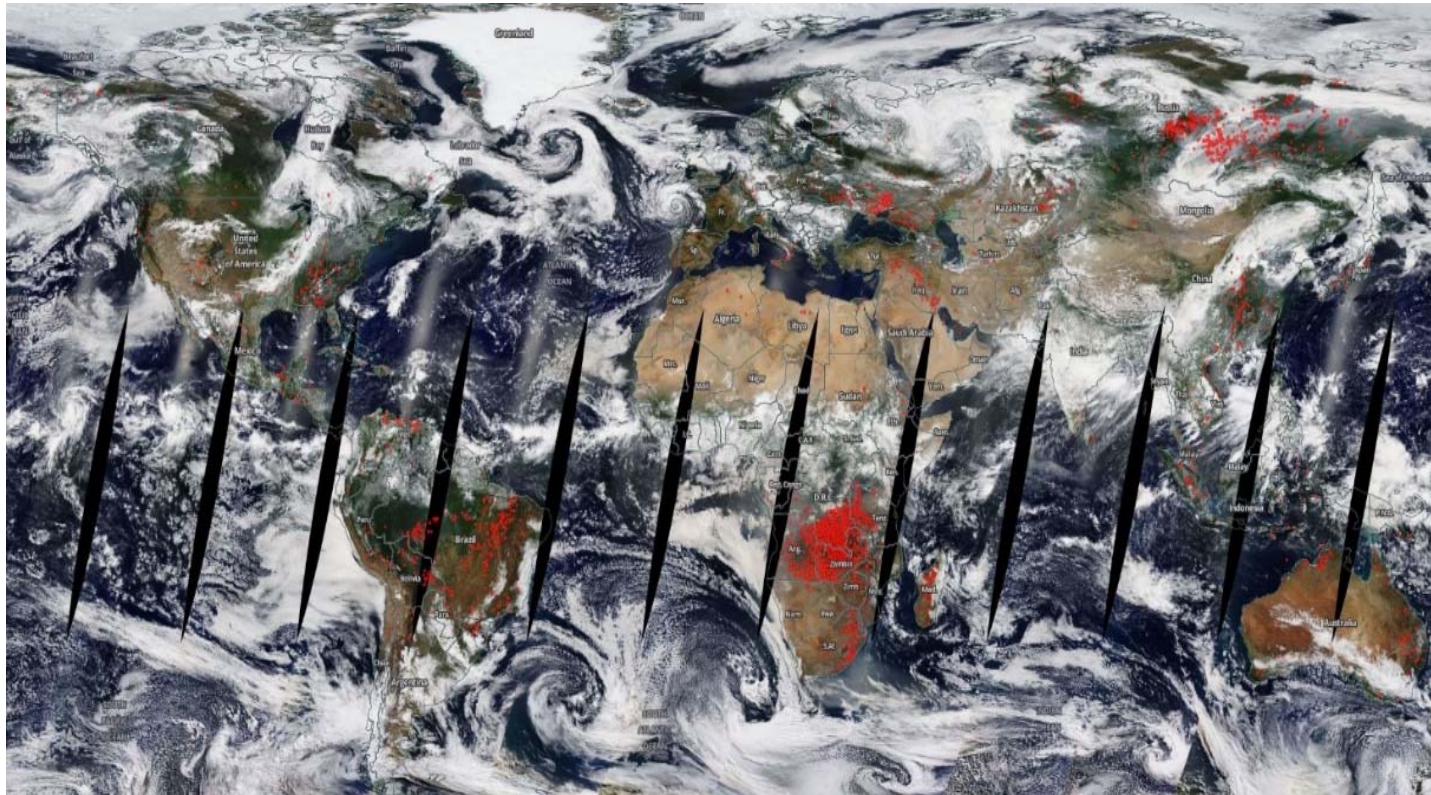
LIFE15 CCA/IT/000089

***Foreste mediterranee e cambiamenti climatici:
tra mitigazione e adattamento***

Disturbi e Impatti



Incendi Artico 2019

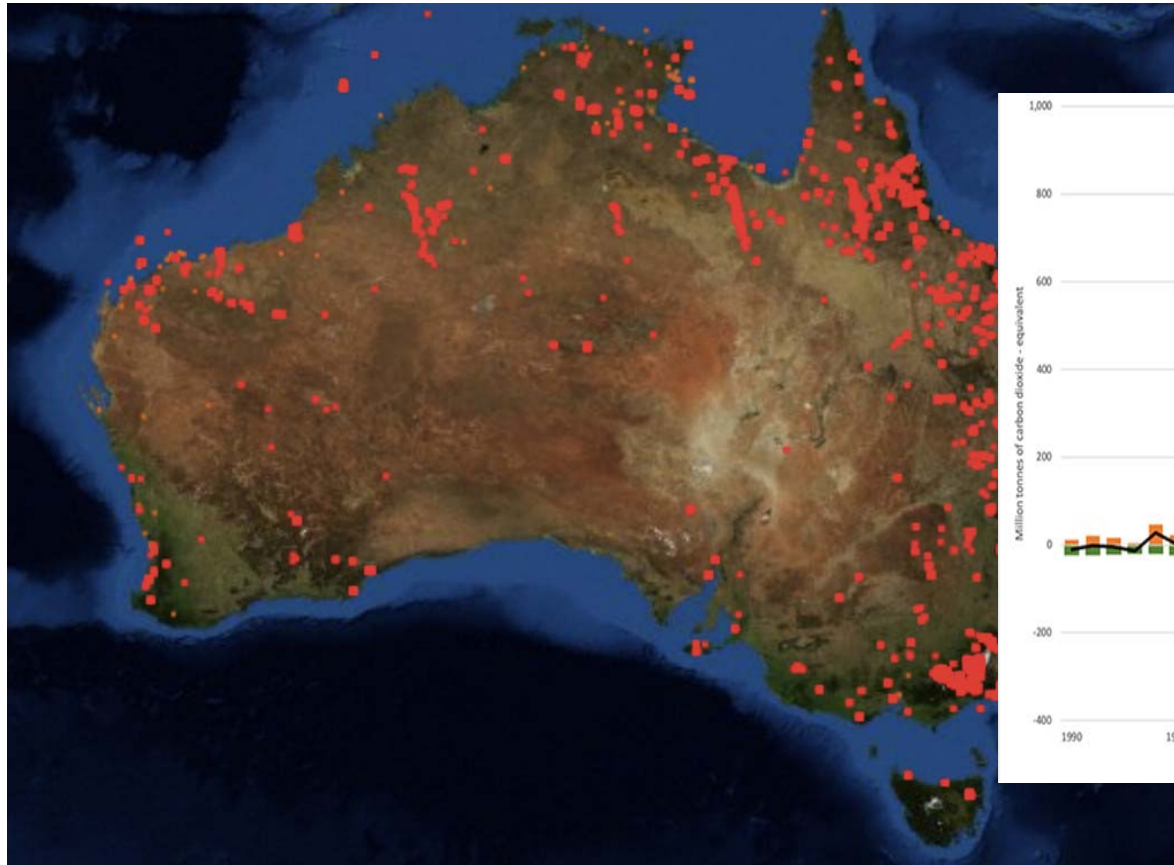


Active Fires del 29/07/2019, Immagine scaricata dal Fire Information for Resource Management System (FIRMS)

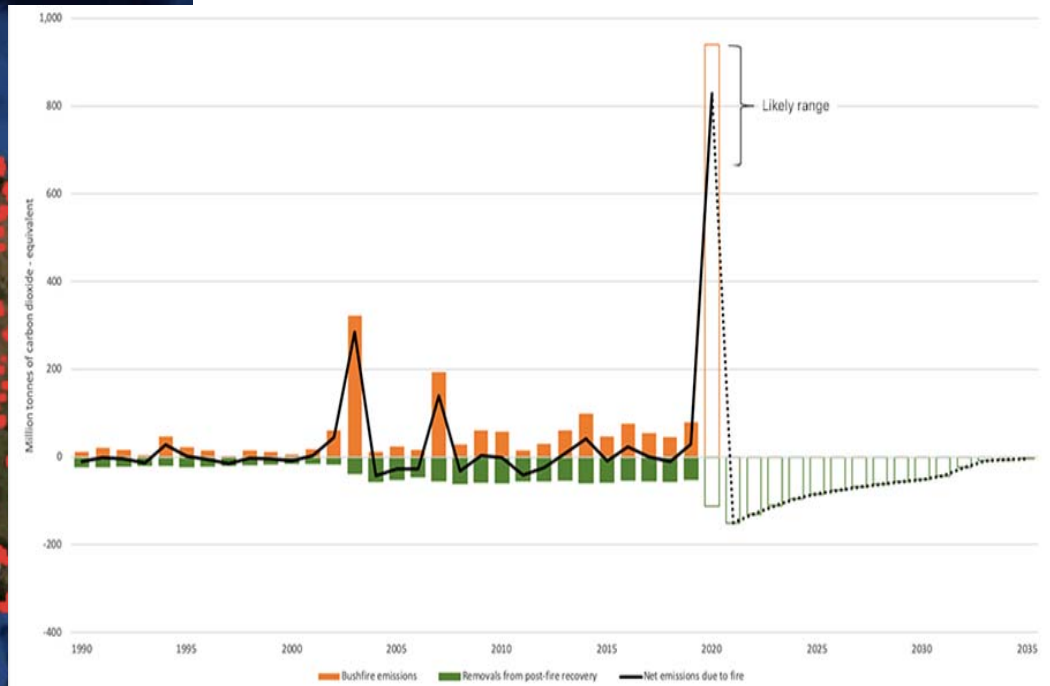
<https://firms.modaps.eosdis.nasa.gov>

Incendi Australia 2019-2020

Circa 19 Milioni di ettari

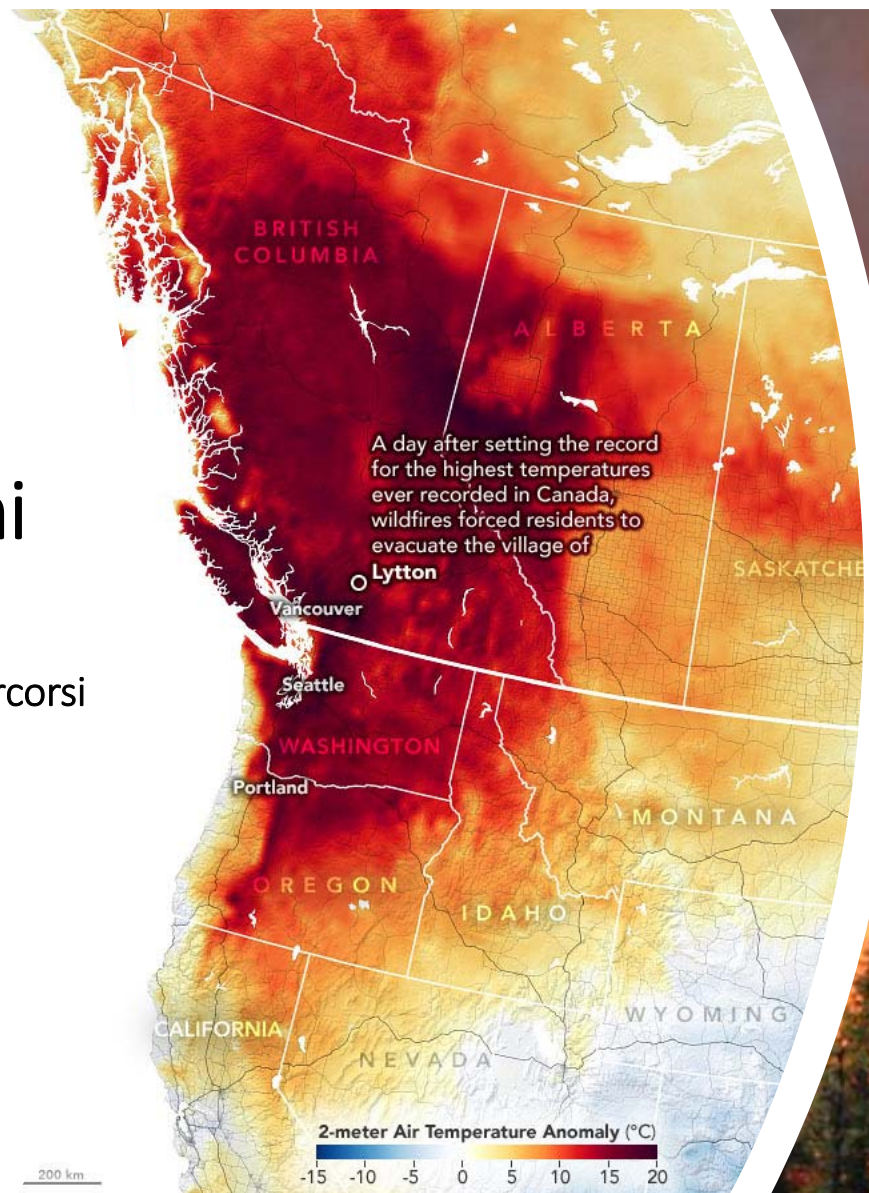


≈ 800 M ton di CO₂



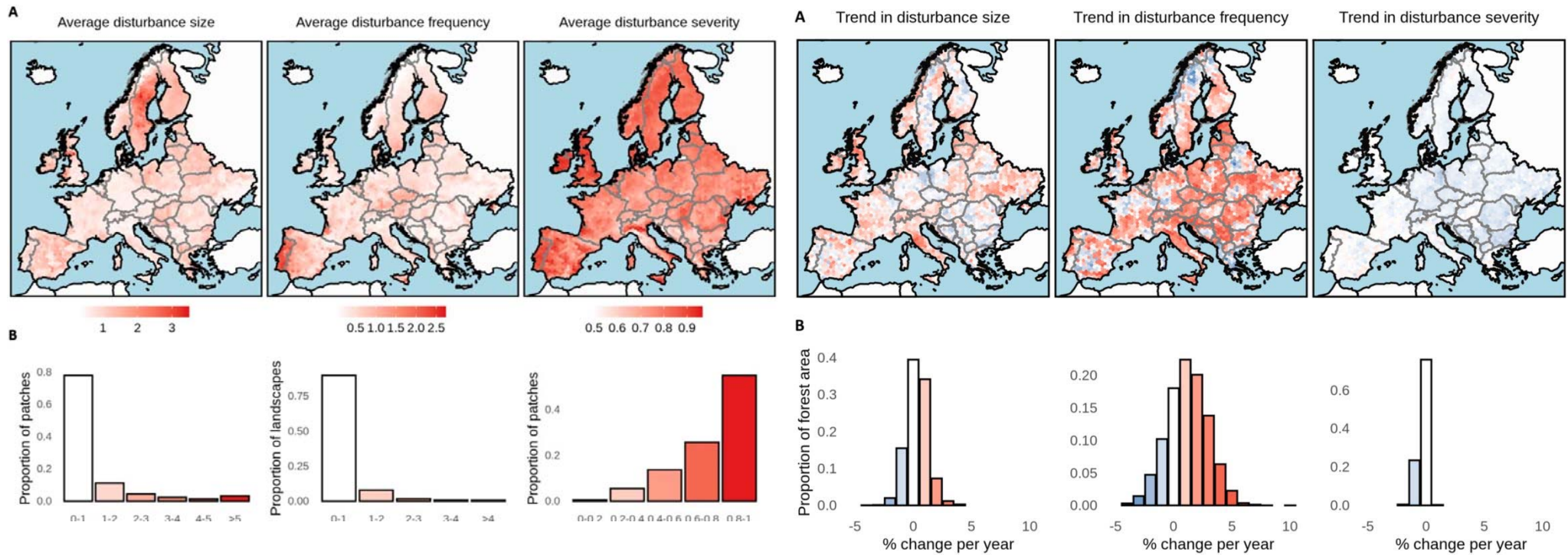
Eventi estremi Canada 2021

Circa 1 milione di ettari percorsi
dal fuoco



Forest disturbance regimes of Europe

(1986-2016)



Senf and Seidl (2021) Mapping the forest disturbance regimes of Europe. *Nat Sustain*

Disturbi e Impatti

Disturbance

“Any relatively discrete event in time that disrupts ecosystems, community, or population structure and changes resources, substrate availability, or the physical environment.” (*White and Pickett, 1985*)

Disturbi in foresta

Disturbi Naturali:

- Fuoco (<2% incendi)
- Vento
- Siccità
- neve e ghiaccio
- Valanghe
- Alluvioni
- frane
- Vulcani
- insetti e patogeni

Disturbi Antropici:

- Fuoco
- Deforestazione
- Cambio di destinazione d'uso del suolo

Disturbi e Impatti

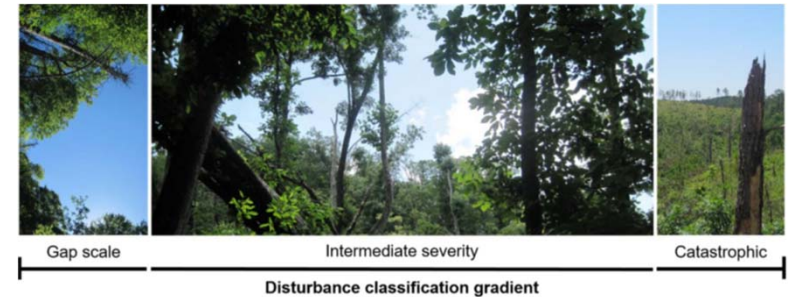
Classificazione

- Tipo di disturbo
- Intensità del disturbo (magnitudo);
- Frequenza o tempo di ritorno del disturbo;
- Estensione spaziale del disturbo;
- Residui, quantità e qualità di organismi e servizi e funzioni ecosistemiche che sopravvivono al disturbo (*biotic and functional legacies*)

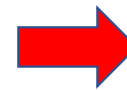
Magnitudo

disturbi minori (*minor disturbances*) sono quelli che rilasciano una parte più o meno consistente del popolamento preesistente

disturbi maggiori (*major disturbances or stand replacing disturbances*) sono quelli che provocano l'eliminazione completa del popolamento preesistente



Regime di
disturbo naturale




Dal punto di vista ecologico

La magnitudo e l'estensione del disturbo influenzano la *composizione* e la *struttura* del popolamento forestale

Disturbi e Impatti

Gli impatti dei disturbi possono essere misurati attraverso
Biotic and functional legacies

Servizi ecosistemici



Supporto alla vita

Produzione primaria
Ciclo dei nutrienti
Formazione del suolo

Approvvigionamento

Cibo, Acqua, Legno e prodotti non legnosi, fibre e combustibili

Regolazione

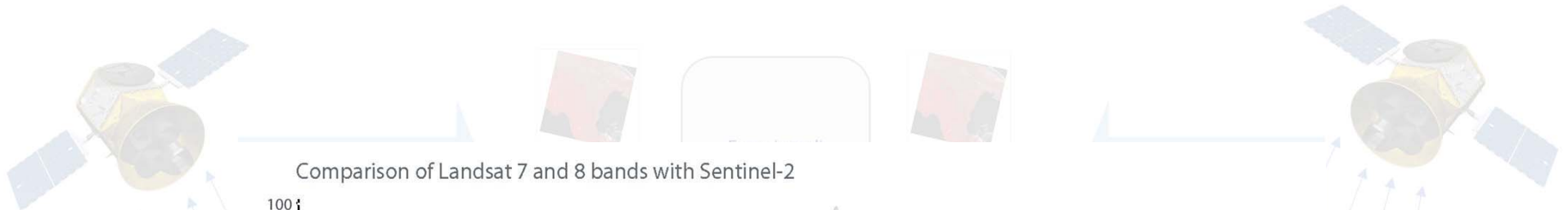
Atmosfera, Clima, Acque,
Erosione, dissesto idrogeologico, habitat, biodiversità

Valori culturali

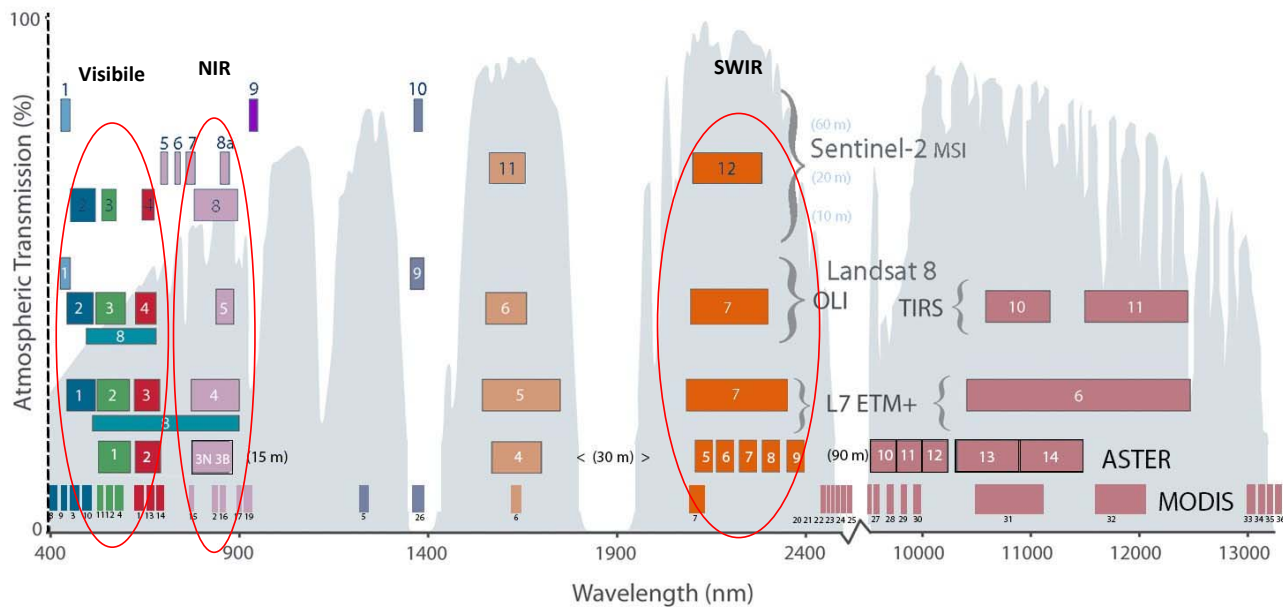
Estetici, Spirituali,
Educativi e ricreativi

Monitoraggio Impatti

Remote sensing monitoring



Comparison of Landsat 7 and 8 bands with Sentinel-2

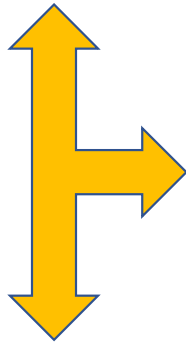


Le sfide delle foreste nel clima che cambia

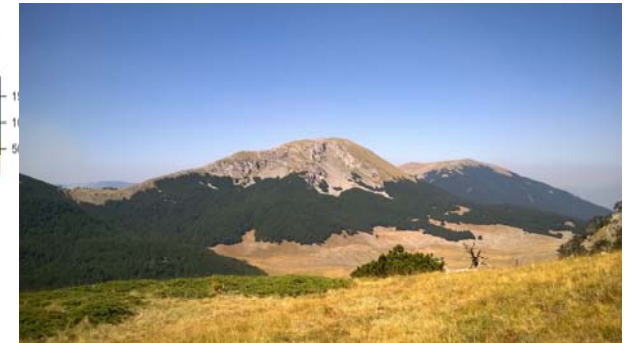
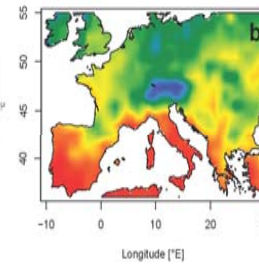
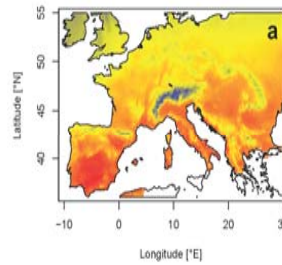
Fuoco



Disturbi



Acqua

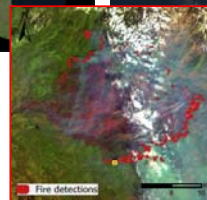
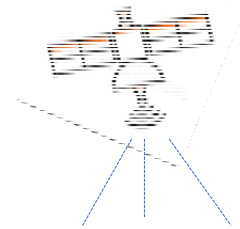


Freddo



Monitoraggio impatti incendi

SEVERITA' D'INCENDIO

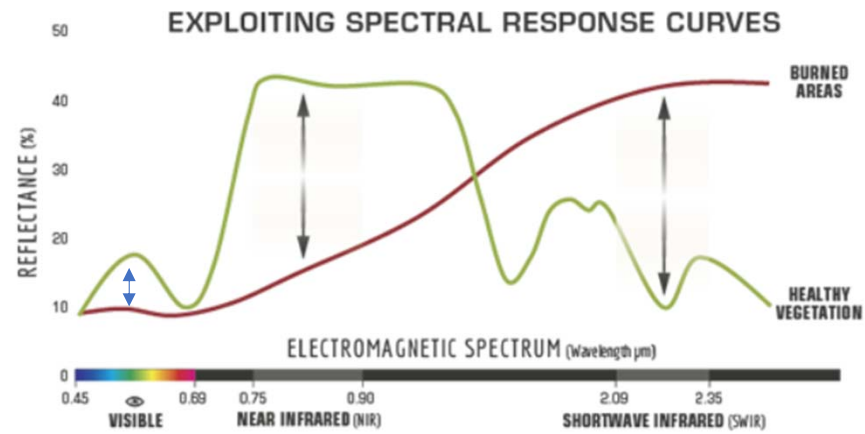


RECOVERY



Monitoraggio impatti incendi

Il monitoraggio post-incendio da remote sensing si basa sull'analisi delle proprietà spettrali, in termini di riflettanza, delle aree percorse dal fuoco



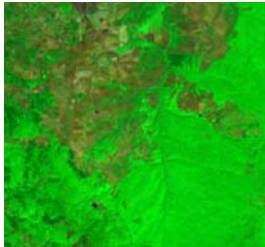
Monitoraggio impatti incendi

Fire severity $\Delta NBR = (NBR_{pre} - NBR_{post})$

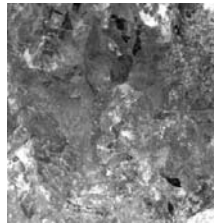
$$NBR = \frac{NIR - SWIR}{NIR + SWIR}$$

NBR (Normalized Burn Ratio)

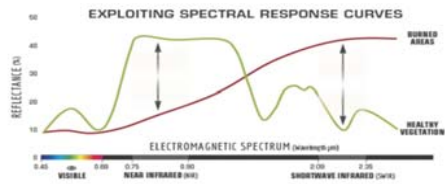
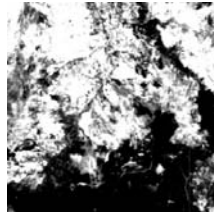
Pre-fire



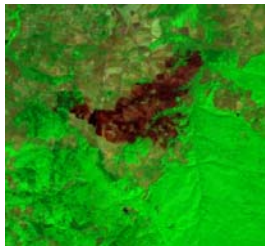
NIR



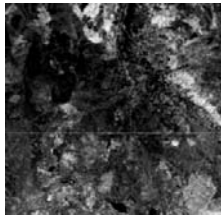
SWIR



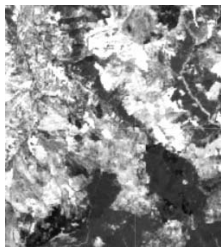
Post-fire



NIR



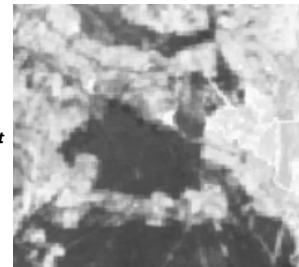
SWIR



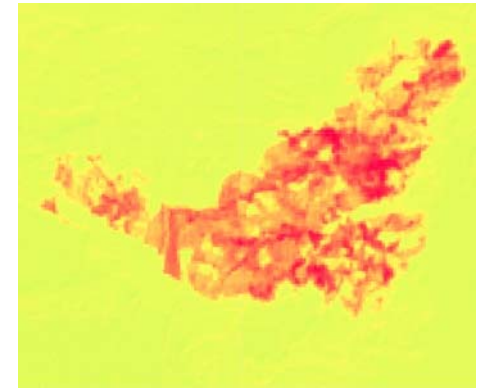
NBR_{pre}



NBR_{post}



$$\Delta NBR = (NBR_{pre} - NBR_{post})$$



Landsat 8 false-color 752 (SWIR2,NIR, Blue)

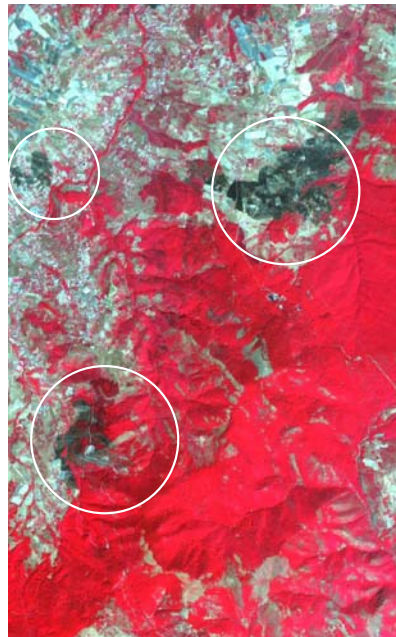
ΔNBR	Burn Severity
< -0.25	High post-fire regrowth
-0.25 to -0.1	Low post-fire regrowth
-0.1 to +0.1	Unburned
0.1 to 0.27	Low-severity burn
0.27 to 0.44	Moderate-low severity burn
0.44 to 0.66	Moderate-high severity burn
> 0.66	High-severity burn

Monitoraggio impatti incendi

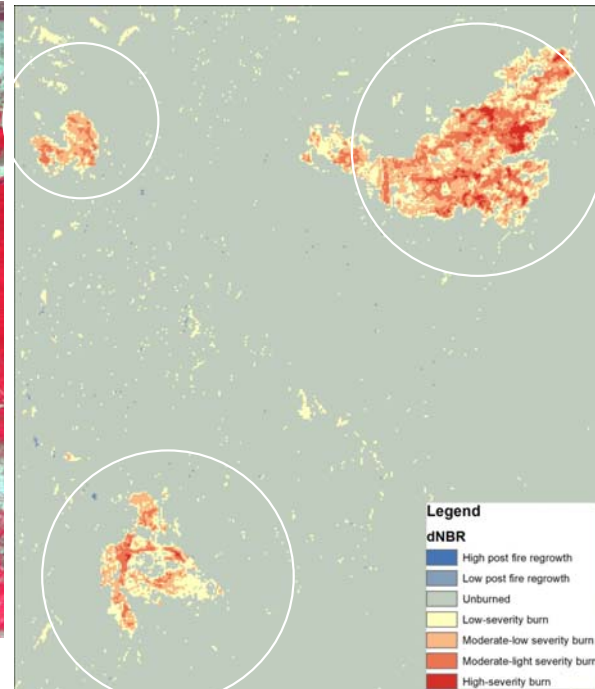
03rd - 26th august 2017
True color- bands 4-3-2



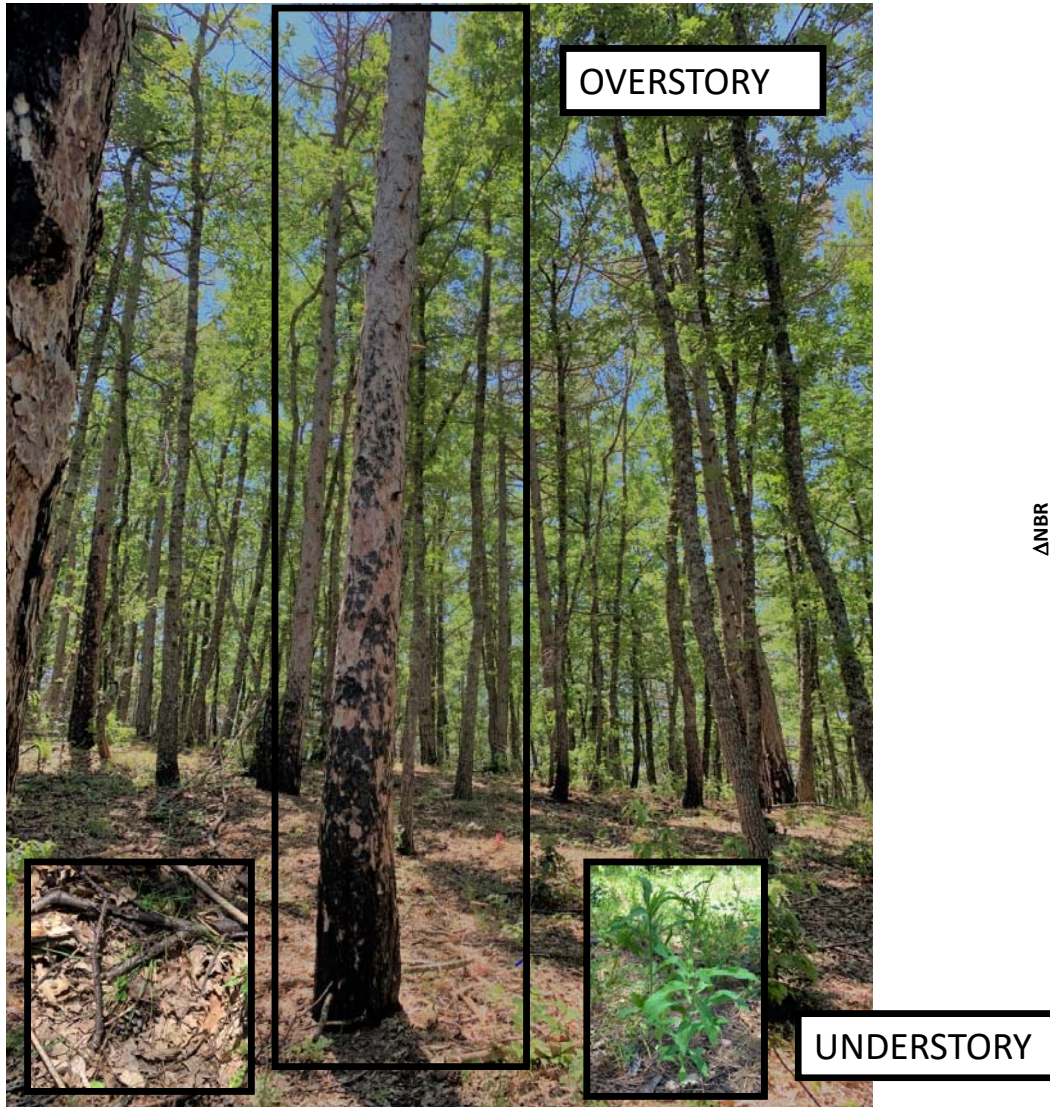
03rd - 26th august 2017
False Color InfraRed - bands 8-4-3



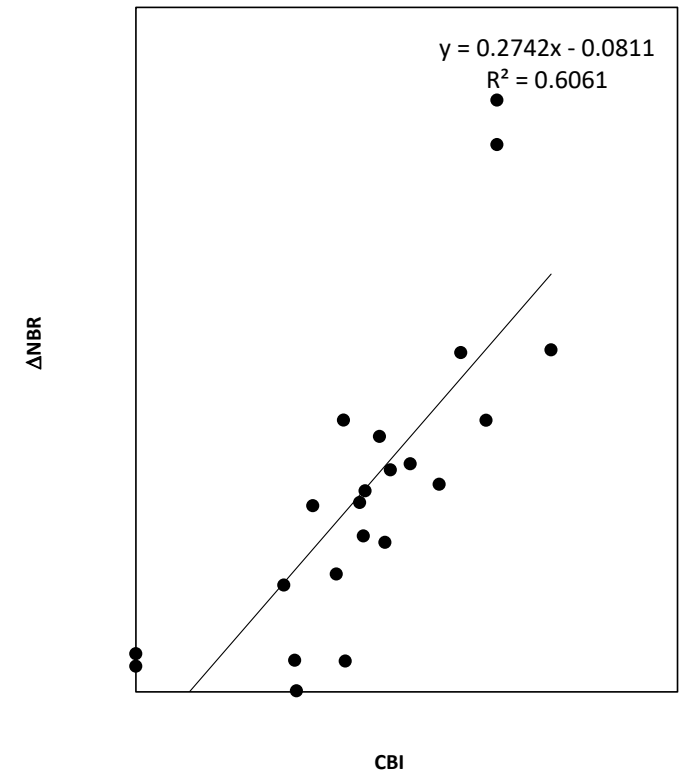
ΔNBR Burn Severity Categories
03rd -26th august 2017



Calibrzione e Validazione in campo



COMPOSITE BURN INDEX (CBI)

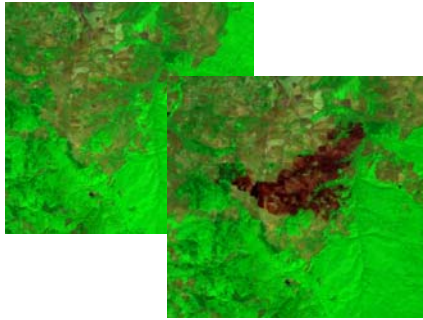


Validation of the fire severity index

Identification of study areas

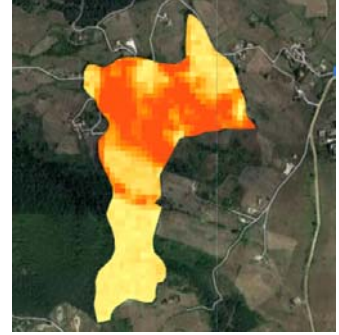


Image acquisition and Pre-processing



$$NBR = \frac{(NIR - SWIR)}{(NIR + SWIR)}$$

$$\Delta NBR = (NBR_{pre} - NBR_{post})$$

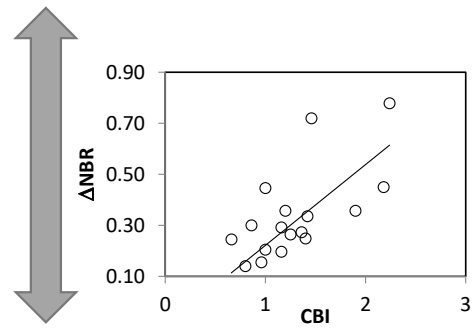


Field rating of burn severity by CBI (Composite Burn Index)



BURN SEVERITY - COMPOSITE BURN INDEX (CBI)					
FD - Abbreviated	Ecosystems		Project Code	Plot Name	
Engagement Code	Field Date (month/year)		Plot #	Plot Number	
Plot Aspect	Plot % Slope		UTM Zone		
Plot Diameter (meters)	UTM N plot center		GPS Datum		
Plot Diameter Understory	UTM N plot center		GPS Error (m)		
Number of Plot Photos	Plot Photo ID(s)				
BI - Long Term	% Burned 100 feet (30 m) diameter from center of plot		Field Photo Series		
BI RATING FACTORS					
	No Effect	Low	Moderate	High	FACTOR
	0.0	0.5	1.0	1.5	2.0
A. SUBSTRATES					
Pre-Fire % Cover	Low	High	Pre-Fire Depth (meters)	Low	High
Low	Unchanged	Unchanged	Light	Unchanged	Unchanged
Medium	Unchanged	Unchanged	Light	Unchanged	Unchanged
High	Unchanged	Unchanged	Light	Unchanged	Unchanged
Low	Unchanged	Unchanged	Light	Unchanged	Unchanged
High	Unchanged	Unchanged	Light	Unchanged	Unchanged
Low	Unchanged	Unchanged	Light	Unchanged	Unchanged
High	Unchanged	Unchanged	Light	Unchanged	Unchanged
B. HERBS, LOW SHRUBS AND TREES LESS THAN 1 FEET (1 METER)					
Pre-Fire % Cover	% Enhanced Growth				
Low	Unchanged	Unchanged			
Medium	Unchanged	Unchanged			
High	Unchanged	Unchanged			
Low	Unchanged	Unchanged			
High	Unchanged	Unchanged			
C. TALL SHRUBS AND TREES 1 TO 5 FEET (1.5 METERS)					
Pre-Fire % Cover	% Enhanced Growth				
Low	Unchanged	Unchanged			
Medium	Unchanged	Unchanged			
High	Unchanged	Unchanged			
Low	Unchanged	Unchanged			
High	Unchanged	Unchanged			
D. INTERMEDIATE TREES (5-30 CANOPY, POLE-SIZED TREES)					
Pre-Fire % Cover	Pre-Fire Stand Structure		Pre-Fire Stand Structure		
Low	Unchanged	Unchanged			
Medium	Unchanged	Unchanged			
High	Unchanged	Unchanged			
Low	Unchanged	Unchanged			
High	Unchanged	Unchanged			
E. BIG TREES (UPPER CANOPY, DOMINANT, CO-DOMINANT TREES)					
Pre-Fire % Cover	Pre-Fire Stand Structure		Pre-Fire Stand Structure		
Low	Unchanged	Unchanged			
Medium	Unchanged	Unchanged			
High	Unchanged	Unchanged			
Low	Unchanged	Unchanged			
High	Unchanged	Unchanged			
Community Notes/Comments					
CBI = Sum of Scores x % Burned / (Sum of Scores x % Burned) + (Sum of Scores x % Burned) / (Sum of Scores x % Burned)					
Total Pre-Fire CBI (0-100)					

- A. Substrates
- B. Herbs, low shrubs
- C. Shrubs and trees 1 to 5 m tall
- D. Intermediate trees
- E. Big trees

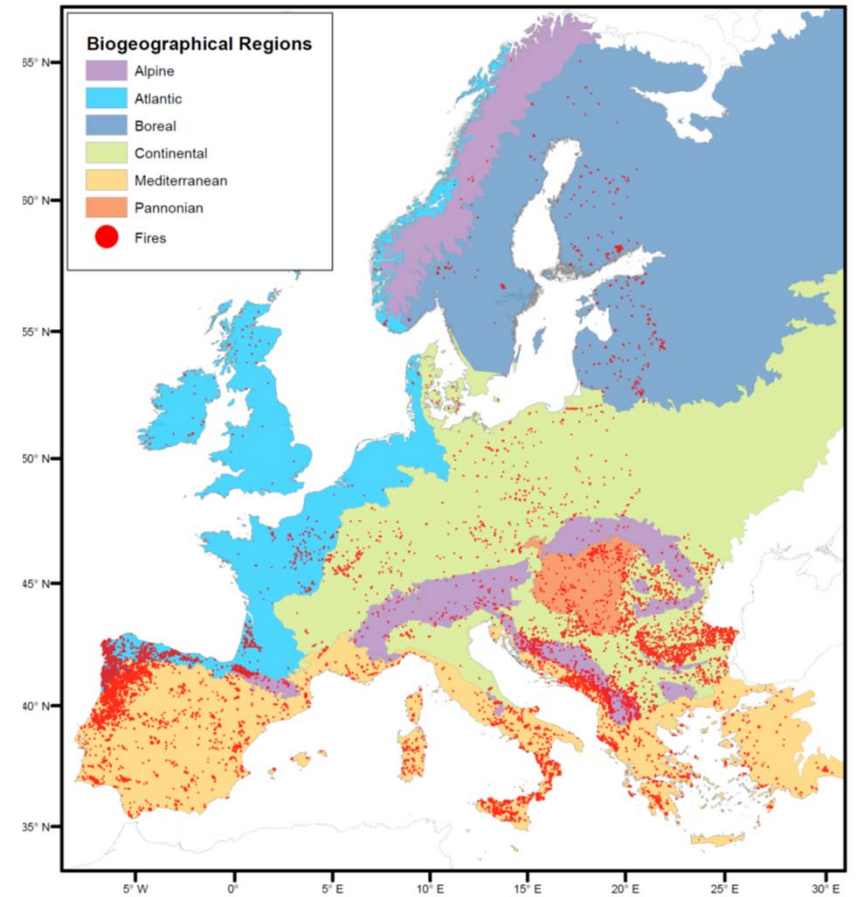
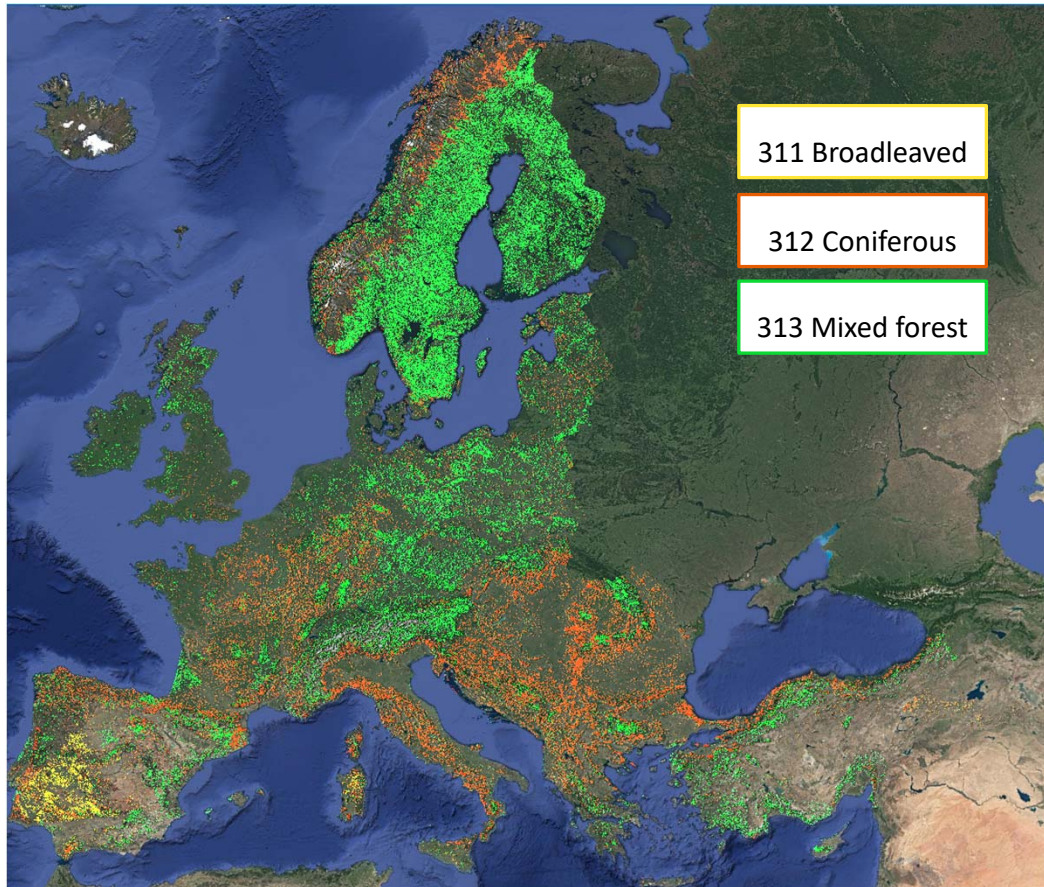


Validation between CBI field data with "fire severity index"

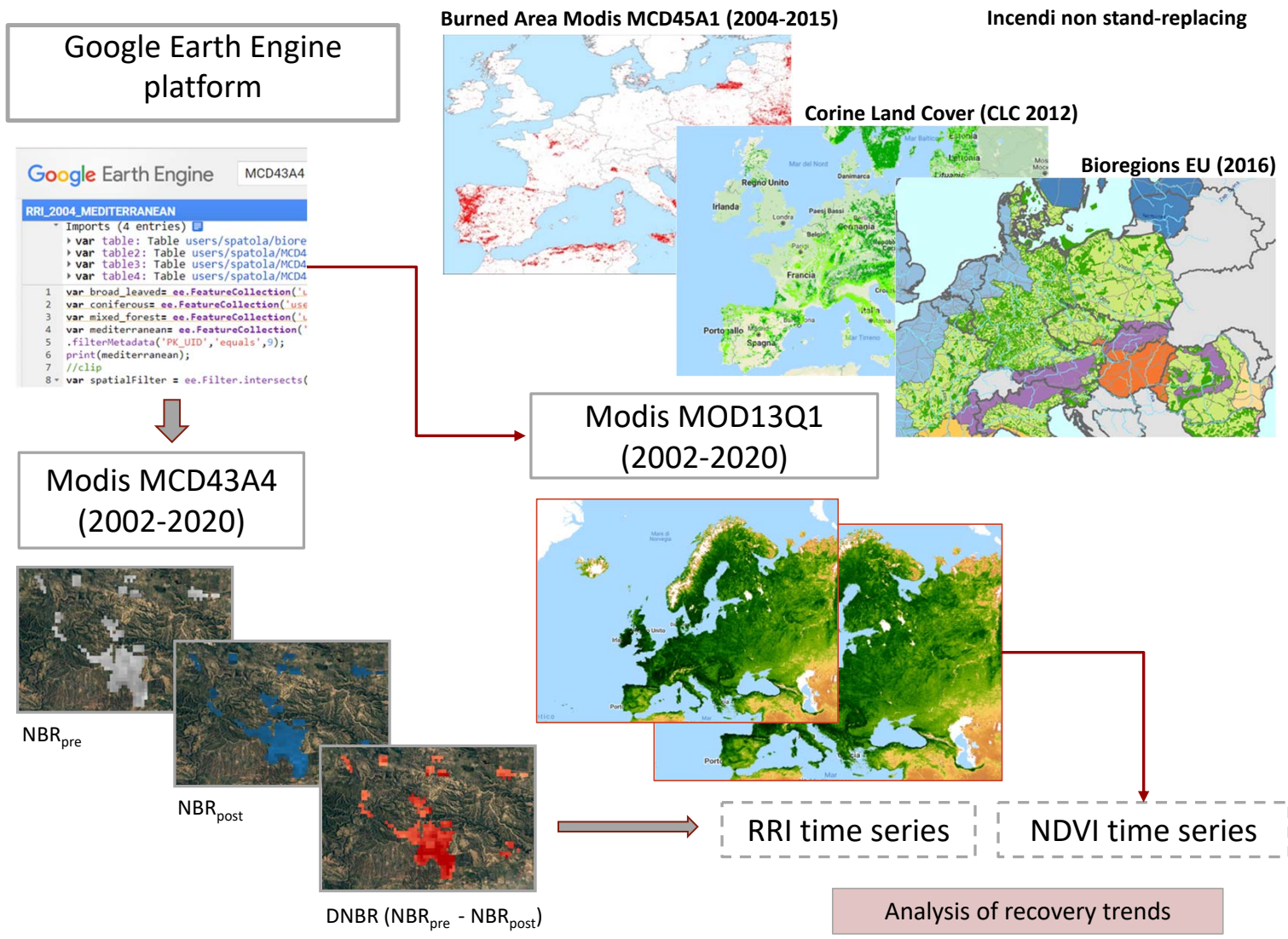
Monitoraggio post-fire recovery

Analisi dei trends di ripristino della vegetazione post-incendio
NDVI vs RRI trends (2002-2020)

European Forests Corine Land Cover (CLC 2012)



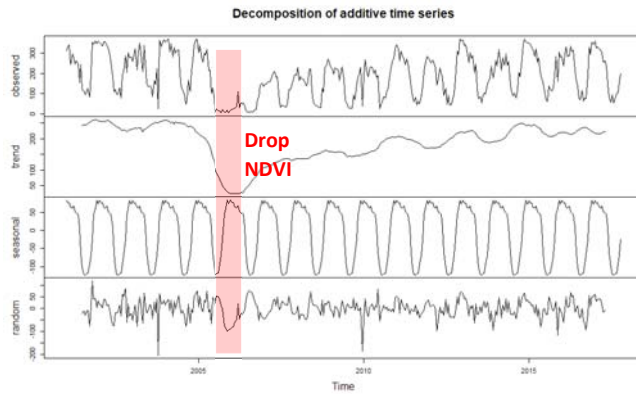
MATERIALS AND METHODS – Data Analysis



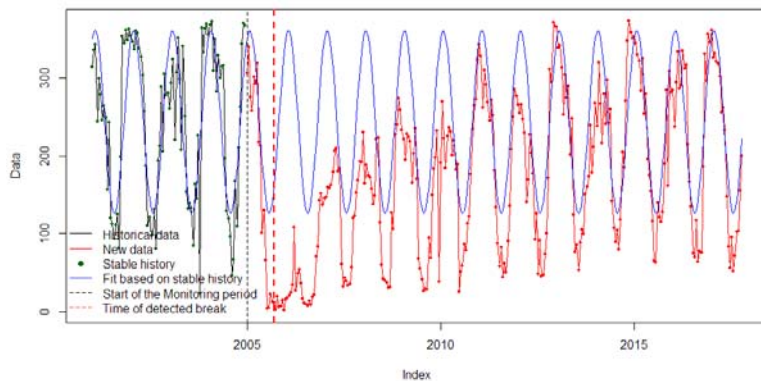
Monitoraggio post-fire recovery NDVI

BFAST (Breaks for Additive Season and Trend) e recovery onset

Scomposizione del trend di NDVI (2002-2020) per ogni area incendiata

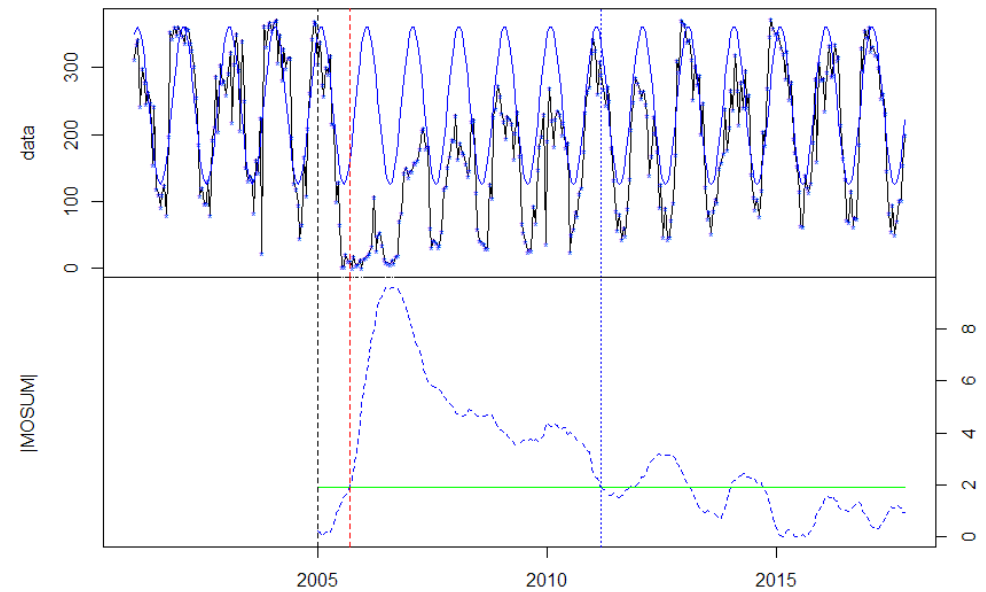


Break detected at: 2005(255)



BFAST: algoritmo per l'individuazione del break point (incendio).
Variazioni di NDVI in termini di deviazione del valore osservato rispetto al valore atteso stimato dal modello

Tempo di 'spectral' recovery post-incendio, basato sull'andamento della somma mobile dei residui MO (MOSUM) tra i valori osservati rispetto ai valori attesi di NDVI stimati dal modello



$$MO = \frac{1}{\sigma \sqrt{h}} \sum_{s=t-h+1}^t (y_s - \hat{y}_s)$$

Lo spectral recovery avviene quando MO risulta minore della soglia statisticamente significativa (0.2) per almeno 2 stagioni vegetative successive.

[NDVI si attesta sui valori di 'equilibrio' per almeno due stagioni vegetative consecutive]

Monitoraggio post-fire recovery RRI

Post-fire monitoring

Remotely sensed data



Spectral indices

BURN SEVERITY

Normalized Burn Ratio $NBR = (NIR-SWIR)/(NIR+SWIR)$ [Key & Benson, 2006]

Delta Normalized Burn Ratio $\Delta NBR = NBR_{prefire} - NBR_{postfire}$ [Key & Benson, 2006]

POST-FIRE VEGETATION RECOVERY

Relative Recovery Indicator $RRI = ARI / \Delta NBR_{disturbance}$ [R.J. Frazier et al.2018]

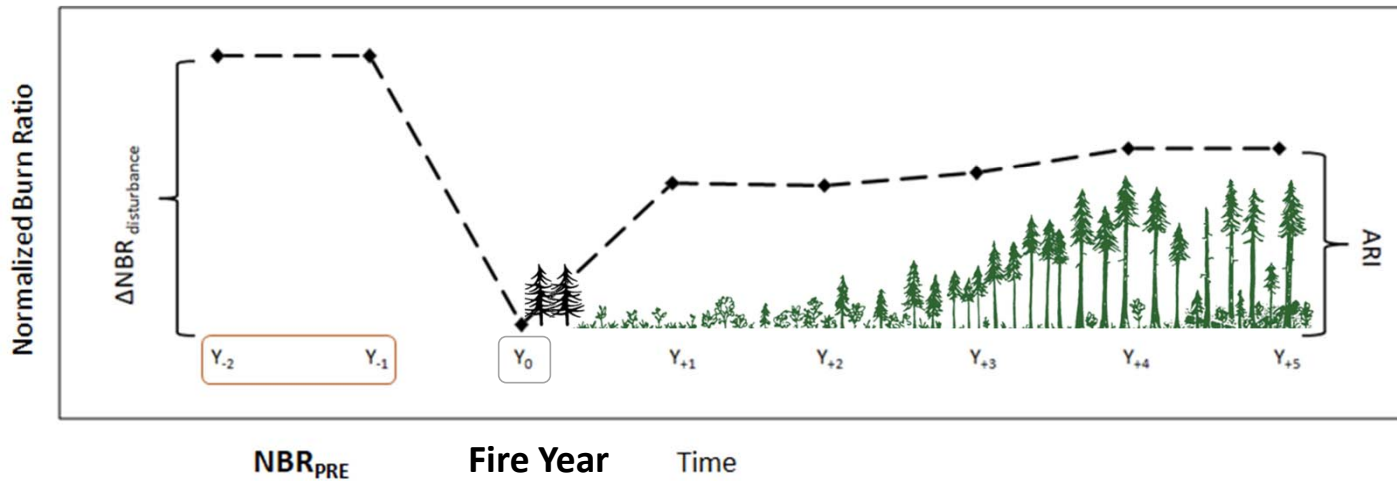
Frazier et al.2018]

Absolute Recovery Indicator

$$ARI = \text{Max}(NBR_{Y+5}, NBR_{Y+4}) - NBR_{Y0}$$

Delta Normalized Burn Ratio disturbance

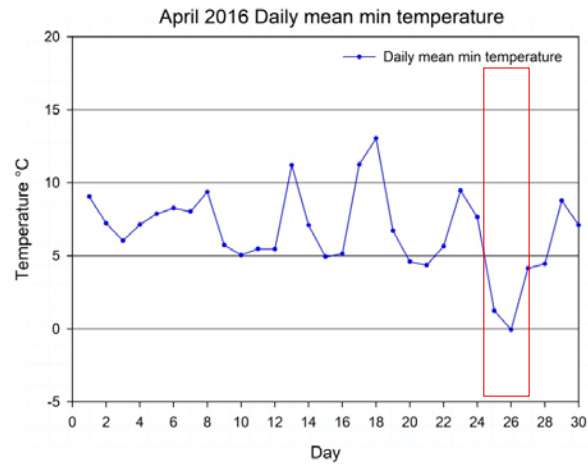
$$\Delta NBR_{disturbance} = NBR_{pre} - NBR_{Y0}$$



Freddo -

Gelata Faggete 2016

Late spring frost
25th-26th April 2016 (doy 116-117)



June 2016

15th July 2016



Freddo -

Gelata Faggete 2016

Vegetation change detection 2015 - 2016

NDVI-Differencing $\Delta NDVI = NDVI_t - NDVI_{t-n}$

$\Delta NDVI < (\mu - n \times \sigma)$

μ $\Delta NDVI$ medio

σ Standard deviation

n threshold

$\mu - n\sigma \leq \Delta NDVI \leq \mu + n\sigma$

no change

$\Delta NDVI \leq \mu - n\sigma$

negative change

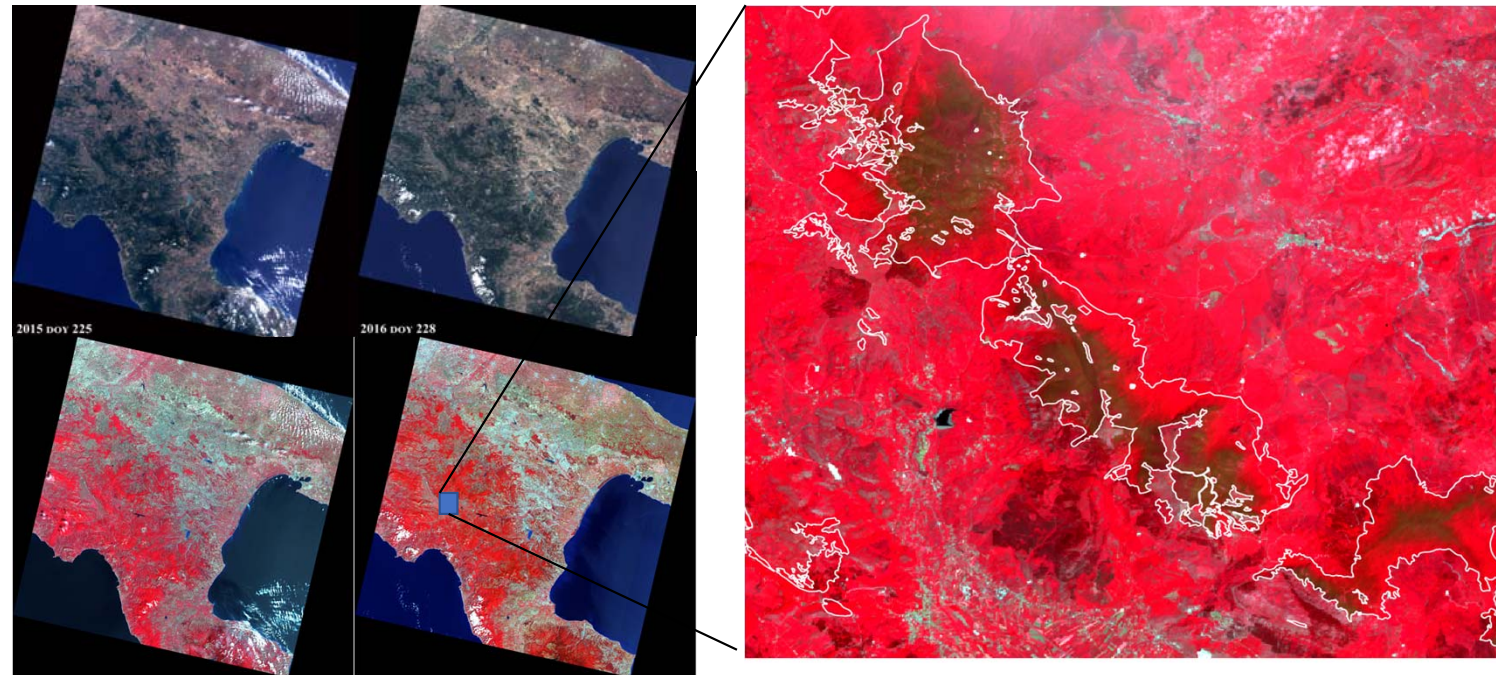
$\Delta NDVI \geq \mu + n\sigma$

positive change

DOY 225 - 2015

DOY 228 - 2016

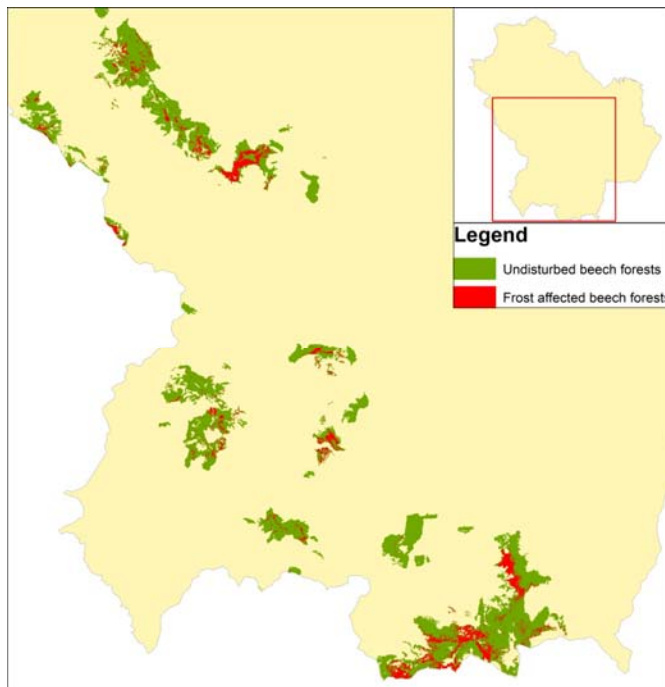
27th May 2016 - DOY 148
IRFC - bands 543



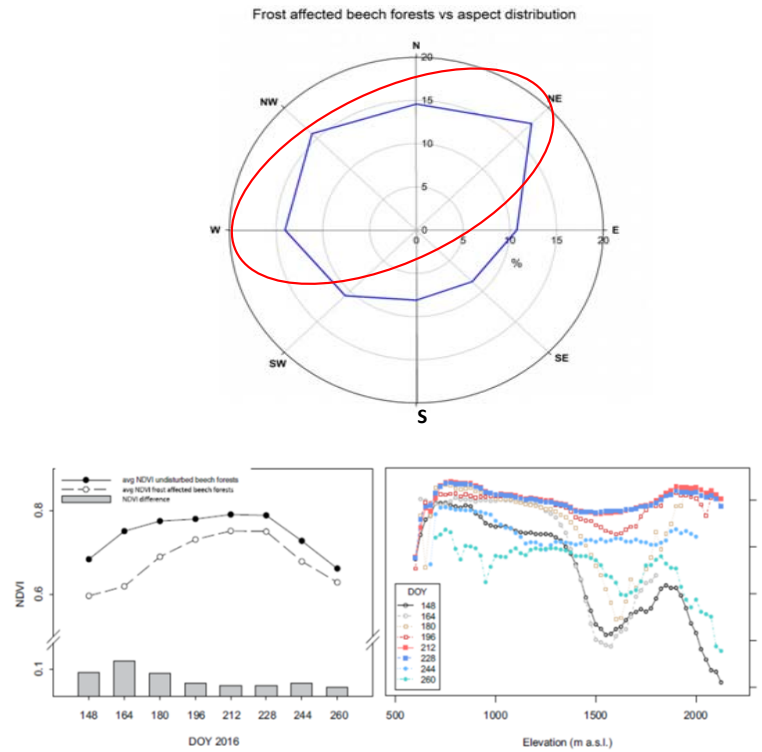
Freddo -

Gelata Faggete 2016

Frost affected areas (13%; ≈ 4000 ha)

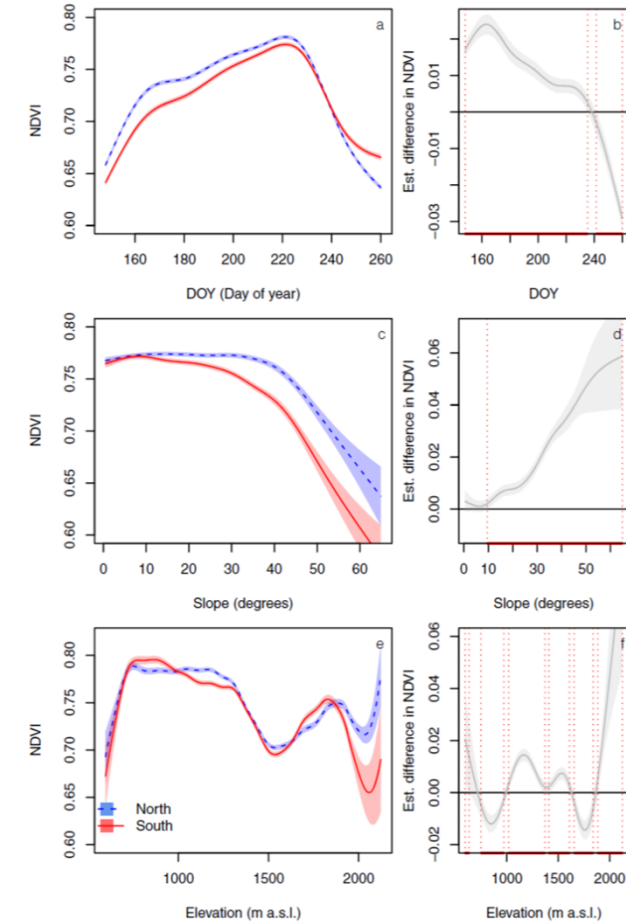


Frost disturbance aspect distribution



Seasonal patterns of average NDVI (disturbed and undisturbed)

Generalized additive model (GAM)



Nolè, A., Rita, A., Ferrara, A.M.S. and Borghetti, M. 2018 Effects of a large-scale late spring frost on a beech (*Fagus sylvatica* L.) dominated Mediterranean mountain forest derived from the spatio-temporal variations of NDVI. *Annals of Forest Science*, 75 (3)

Freddo -

Gelata Faggete 2016

3rd July 2016



NSC (Carbonio non strutturale)
Carbonio di riserva stoccato nei
tessuti della piante, messo da
parte dai 5 ai 9 anni prima

Riserve in grado di supportare
fino a 4 ricacci

Bascietto M, Bajocco S, Mazzenga F, Matteucci G (2018) Assessing spring frost effects on beech forests in central Apennines from remotely-sensed data. *Agric For Meteorol* 248:240–250. [https:// doi.org/10.1016/j.agrformet.2017.10.007](https://doi.org/10.1016/j.agrformet.2017.10.007)

D'Andrea, E. , Rezaie, N. , Battistelli, A. , Gavrichkova, O. , Kuhlmann, I. , Matteucci, G. , Moscatello, S. , Proietti, S. , Scartazza, A. , Trumbore, S. and Muhr, J. (2019), Winter's bite: beech trees survive complete defoliation due to spring late-frost damage by mobilizing old C reserves. *New Phytol*, 224: 625-631. [doi:10.1111/nph.16047](https://doi.org/10.1111/nph.16047)



Grazie per l'attenzione